

ARTP 与紫外线复合诱变 选育高性能绿僵菌菌株

黄玉¹,尼玛扎西^{2,+},薛正莲¹,张国强^{1,*}

(1.安徽工程大学生物与化学工程学院,安徽芜湖 241000;
2.西藏自治区农牧科学院农业资源与环境研究所,西藏拉萨 850000)

摘要:为获得高性能的金龟子绿僵菌菌株,本研究采用常压室温等离子体(Atmospheric and room temperature plasma,ARTP)和紫外线复合诱变处理金龟子绿僵菌,通过比较产孢快慢和生长直径大小进行初筛,用抗紫外能力和毒力作为复筛指标选育菌株,并对育种获得的突变株进行耐热性和遗传稳定性试验,最终在 ARTP 40 s 和紫外 120 s 时筛选出一株产孢量高、耐紫外线、毒力强、遗传稳定的优良菌株 AU34。该菌株产孢时间比原始菌株快,产孢量为 $1.63 \pm 0.22 (10^8 \text{ cell/cm}^2)$,较原始菌株提高了 63.81%。经紫外照射 5 min 后,AU34 存活率为 3.18%,比原始菌株更耐紫外照射。并且 AU34 对小菜蛾的毒力强,校正死亡率为 85.71%,半数致死时间(Half-lethal time, LT_{50})为 6.12 d。与原始菌株相比,AU34 的耐热性也有较大提高。传代培养 6 代后,菌株 AU34 的产孢量无明显变化,具有良好的遗传稳定性。

关键词:金龟子绿僵菌,常压室温等离子体(ARTP),紫外诱变,复合诱变,筛选,遗传稳定性

Breeding of High Performance *Metarhizium anisopliae* Strain by ARTP/UV Mutagenesis

HUANG Yu¹,Nimazhaxi^{2,+},XUE Zhenglian¹,ZHANG Guoqiang^{1,*}

(1.College of Biological and Chemical Engineering, Anhui Polytechnic University, Wuhu 241000, China;
2.Institute of Resources and Environment, Tibet Academy of Agricultural and Animal Husbandry Sciences, Lhasa 850000, China)

Abstract:After atmospheric and room temperature plasma (ARTP) and ultraviolet (UV) compound mutation, a high-performance strains of *Metarhizium Anisopliae* was selected. By comparing the speed of sporulation and the size of growth diameter, selected with the ability of anti-ultraviolet and virulence as the re-screening index, and tested for heat resistance and genetic stability, a good strain AU34 with high sporulation, UV tolerance, strong virulence and stable genetic was selected at the time of ARTP 40 s and UV 120 s. The sporulation time of the strain was faster than the original strain, and the sporulation amount was $1.63 \pm 0.22 (10^8 \text{ cell/cm}^2)$, which was 63.81% higher than the original strain. After 5 min of UV irradiation, the survival rate of AU34 was 3.18%, which was more resistant to UV irradiation than the original strain. The toxicity of AU34 to *Plutella xylostella* L. was high. The adjusted mortality rate was 85.71% and LT_{50} was 6.12 days. Compared with the original strain, the heat resistance of AU34 was also improved. After subculture for 6 generations, the sporulation of strain AU34 had no obvious change and had good genetic stability.

Key words: *Metarhizium anisopliae*; atmospheric and room temperature plasma (ARTP); ultraviolet mutagenesis; compound mutation; screening; genetic stability

中图分类号:TS201.3 文献标识码:A 文章编号:1002-0306(2021)04-0060-06

doi:10.13386/j.issn1002-0306.2020060082

引文格式:黄玉,尼玛扎西,薛正莲,等.A RTP 与紫外线复合诱变选育高性能绿僵菌菌株[J].食品工业科技,2021,42(4):60-64,70.

HUANG Yu, Nimazhaxi, XUE Zhenglian, et al. Breeding of High Performance *Metarhizium anisopliae* Strain by ARTP/UV Mutagenesis [J]. Science and Technology of Food Industry, 2021, 42(4): 60-64, 70. (in Chinese with English abstract) <http://www.spgykj.com>

收稿日期:2020-06-08

+ 并列第一作者

作者简介:黄玉(1995-),女,硕士研究生,研究方向:微生物发酵工程,E-mail:1553067871@qq.com。

尼玛扎西(1973-),男,本科,副研究员,研究方向:资源与环境生物技术,E-mail:nyima313@163.com。

*通信作者:张国强(1982-),男,博士,教授,研究方向:农业与食品生物技术,E-mail:guoqiang2008@163.com。

基金项目:中央引导地方资金(Y20X20195400004790);平台引进高层次人才资助项目(2018PTJB03);安徽省高校学科拔尖人才项目(jxbjZD22)。

金龟子绿僵菌(*Metarhizium anisopliae*)是一种广谱的昆虫病原真菌,具有不污染环境,无残留,对人畜无害等优点^[1],被认为是一种环境友好型杀虫剂。金龟子绿僵菌通过其分生孢子粘附在昆虫体表,然后利用氨基酸、蛋白质等营养物质萌发,同时分泌蛋白酶、几丁质酶^[2-3]等穿透昆虫表皮,在昆虫体内大量繁殖,产生毒素^[4],最后导致昆虫死亡^[5]。金龟子绿僵菌现已成功应用到田间,正缓慢而稳定地取代传统的化学农药,取得了较好的防治效果^[6-7]。但田间的不利环境会限制绿僵菌的感染性和有效性^[8-9]。在田间试验中,紫外线和高温降低了孢子的存活率,毒力大大降低,阻碍了绿僵菌分生孢子的作用^[10-11]。

当绿僵菌在生长过程中暴露于紫外、温度等亚致死胁迫下时,绿僵菌分生孢子对紫外线和热的耐受性会提高^[12-13]。陈瑞勤^[14]利用紫外线和亚硝酸复合诱变,选育出孢子海藻糖含量显著提高的抗逆诱变株M105-32。高温会抑制真菌在野外的持久性和药效,是商业发展的限制因素^[15],生产对胁迫温度更耐受的分生孢子可提高真菌在田间的有效性。因此,筛选具有抗逆性的优良绿僵菌菌株具有重要的意义。

近年来,为了获得绿僵菌优良菌株,大部分是通过紫外诱变来获取^[16-19]。紫外诱变使DNA形成嘧啶二聚体,阻碍碱基间的正常配对,从而引起微生物的突变或死亡^[20-21]。它是研究中常用的诱变手段,且所用到的设备简单,操作方便,诱变的效率高。目前尚未见利用ARTP诱变技术增强绿僵菌性能的报道。常压室温等离子体(Atmospheric and room temperature plasma, ARTP),一种新兴的诱变方式,已经成功应用于细菌、真菌等微生物,具有突变率高等优点^[22-24]。ARTP诱变技术操作简便,易得到稳定的突变菌株,利用两种诱变方式会使得突变位点增多,突变效果增强。ARTP和紫外诱变相结合,突变率大大提高。戴剑濂等^[25]通过ARTP和紫外复合诱变获得发酵单位比出发菌株提高221%、埃莎霉素I组分含量提高192%的正突变株IA-425。

本研究以金龟子绿僵菌421为材料,采用ARTP和紫外线复合诱变处理菌株,以小菜蛾为生测对象,筛选出产孢量高、耐紫外、毒力强的优良诱变株。

1 材料与方法

1.1 材料与仪器

金龟子绿僵菌(*Metarhizium anisopliae*)421 本实验室保藏;PDA培养基(g/L) 土豆200 g,葡萄糖20 g,琼脂20 g,水1000 mL;Tween 80 国药集团化学试剂有限公司;小菜蛾 河南省济源白云实业有限公司。

HSP-70BE恒温恒湿培养箱 上海力辰邦西仪器科技有限公司;ARTP-II型诱变育种仪 北京思清源生物科技有限公司;85-2恒温磁力搅拌器 金坛市杰瑞尔电器有限公司;SW-CJ-2FD双人单面净化工作台 苏州净化设备有限公司。

1.2 实验方法

1.2.1 孢子悬液的制备 取5 mL 0.05%的Tween 80

溶液打在新鲜的培养基平板上,将孢子冲洗下来放入到含有玻璃珠的10 mL离心管中,并振荡均匀,用四层的灭菌擦镜纸过滤,稀释后在光学显微镜下计数,将孢子悬液的浓度调整至10⁷个孢子/mL左右^[26]。

1.2.2 ARTP诱变方法 将载片灼烧30 s,放入灭菌平板中,待冷却后,取10 μL 10⁷个孢子/mL孢子悬液均匀涂于载片。紫外灯灭菌30 min后,开始诱变操作,诱变时间设定为0、10、20、30、40、50、60 s,放电功率为100 W,气流量为10 SLM。待诱变处理完毕后,将装有载片的EP管振荡洗脱,稀释相应的倍数,取100 μL涂布于平板中,28 ℃培养3 d,计算致死率。

$$\text{致死率}(\%) = 1 - \frac{A}{B} \times 100$$

式中:A:处理组平板长出的菌落数;B:对照组平板长出的菌落数。

1.2.3 紫外诱变方法 将磁力搅拌器放入超净工作台中,用酒精清洗超净工作台和磁力搅拌器,固定距离30 cm,紫外灭菌20 min。吸取5 mL 10⁷个孢子/mL孢子悬液加入于已灭菌的带有转子的平板中,打开磁力搅拌器和培养皿盖,在黑暗条件下用30 W紫外灯照射0、30、60、90、120、150、180、210、240、270、300 s。照射结束后,关闭紫外灯。将取出的不同照射时间的菌液稀释合适的倍数,取100 μL涂布于培养基平板中,以上操作均在红外光下操作。28 ℃避光培养3 d,计算致死率。

1.2.4 ARTP结合紫外复合诱变 孢子悬液经ARTP处理40 s后直接进行紫外诱变,稀释并涂布于平板,重复3次,28 ℃避光培养,计算致死率。

1.2.5 初筛方法 将复合处理后的诱变株培养3 d后,观察不同时间的平板的生长情况,计数平板上的菌落,对诱变株进行初筛,将平板上长出来的菌落和原始菌株一起点种于新的PDA培养基上,于第6 d时测量并记录菌落生长直径。比较初始菌株和诱变株,筛选诱变后能产孢、菌落生长速度快、生长直径大的诱变株。

1.2.6 复筛方法

1.2.6.1 抗紫外线能力筛选 将初筛得到的菌株在紫外灯下照射5 min,选择萌发率高的、抗紫外能力较强的菌株。

1.2.6.2 毒力筛选 把原始菌株和通过1.2.6.1得到的诱变株一起进行小菜蛾的毒力试验,选择对小菜蛾毒力强的菌株。用浸泡法将供试10⁷个孢子/mL的绿僵菌孢子悬液接种于小菜蛾2龄幼虫,筛选具高侵染能力的绿僵菌菌株。幼虫死亡后,将虫尸进行保湿培养,5 d后,检查这些虫体是否长出菌丝及分生孢子,以确认它们是否死于绿僵菌感染^[27]。每组处理20头,重复3组,采用0.05% Tween80溶液作为对照,每天观察小菜蛾的症状并记录,统计小菜蛾的死亡数,并计算出校正致死率,同时通过每天的致死率做相关性分析,求出LT₅₀和毒力回归方程,用SPSS软件做数据统计分析。

$$\text{校正致死率}(\%) = (\text{处理组死亡率} - \text{对照组死}$$

亡率)/(1-对照组死亡率)×100

1.2.7 突变菌株耐热性试验 取 10^7 个孢子/mL浓度的孢子悬液1 mL于10 mL EP管中,将其置于水浴锅中,分别在35、40、45、50、55、60 ℃温度下处理0.5 h,处理完毕后,将其稀释涂布于PDA平板中,重复3次,培养3 d后,测定萌发率。

$$\text{萌发率}(\%) = \frac{A}{B} \times 100$$

式中:A:处理组平板长出的菌落数;B:对照组平板长出的菌落数。

1.2.8 突变菌株稳定性试验 将获得的诱变优良菌株在PDA平板上连续传代点种,用4 mm的打孔器挖取菌块,测定菌株连续6代的产孢量,检测其遗传稳定性。

1.3 数据处理

所有数据均处理三次,采用IBM SPSS Statistics 25进行数据分析,通过Origin 2018作图。

2 结果与分析

2.1 初筛选育

2.1.1 ARTP诱变选育 以金龟子绿僵菌421孢子悬液为出发菌株,探索ARTP最佳诱变时间。从图1看,金龟子绿僵菌对ARTP很敏感,在60 s时致死率已接近100%。当照射时间为40 s时,致死率为80.06%。为获得生长快、产量高的优良菌株,一般把80%~90%的致死率选定为诱变时间^[28],因此本研究诱变处理时间选定40 s。

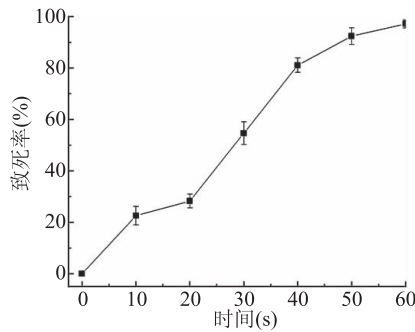


图1 ARTP诱变致死曲线

Fig.1 ARTP mutagenic lethal curve

2.1.2 紫外诱变 将孢子悬液在30 W紫外灯下照射处理不同时间后,发现随着时间延长致死率逐渐升高,结果见图2,照射300 s时,致死率达到100%,因此,将紫外诱变的时间范围确定在0~300 s内。

2.1.3 双诱变条件复合诱变 由图3知,将经ARTP处理40 s后的孢悬液再进行紫外照射处理,发现在紫外处理120、150、180 s时,致死率分别为70.38%、94.81%、97.97%,考虑到本研究是结合ARTP和紫外复合诱变,为保证后续有足够的菌株,因此将120 s作为诱变时间。

2.1.4 诱变株生长情况 在经过ARTP和紫外复合诱变后,将诱变后长出的菌落和出发菌株点种到新的PDA平板上,通过比较出发菌株和诱变菌株的生长直径(d)大小及产孢快慢,共筛选了28株生长直径比原始菌株大的诱变菌株,编号AU3~AU101,结果见表1。

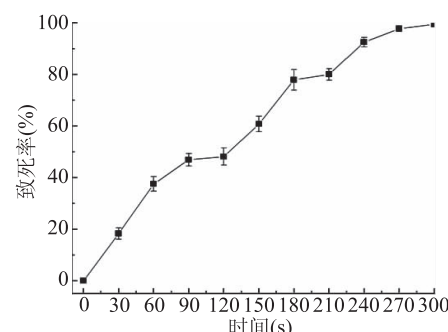


图2 紫外诱变致死曲线

Fig.2 Ultraviolet mutagenic lethal curve

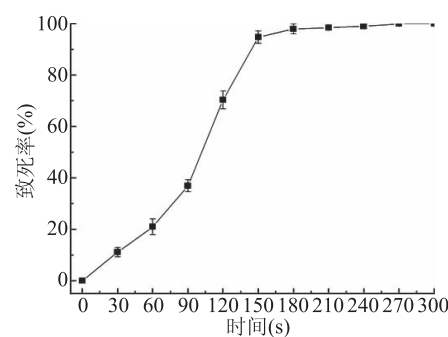


图3 ARTP后紫外诱变致死曲线

Fig.3 Lethal curve of ultraviolet mutagenesis after ARTP

28株诱变菌株中有5株诱变株AU6、AU23、AU34、AU43和AU48产孢较快,其中AU34产孢特征见图4A,这5株诱变株在48 h后开始产孢,而原始菌株则是在60 h后开始产孢。其余诱变菌株产孢表现与初始菌株一致,但菌落大小较初始菌株大,其中AU34结果如图4B。

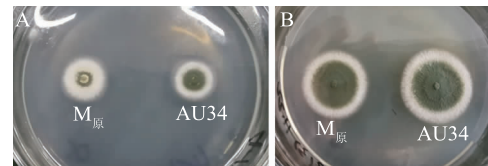


图4 原始菌株M_原与诱变株AU34的产孢快慢和生长直径大小比较

Fig.4 Comparison of sporulation speed and growth diameter between the original strain and the mutant strain

注:A:3 d后产孢快慢;B:6 d后生长直径大小。

2.2 复筛结果

2.2.1 抗紫外线能力复筛 将初筛得到的28株诱变菌株在紫外灯下照射5 min后,发现28株诱变菌株中AU3、AU34两株菌株比原始菌株更抗紫外线照射(见表2),菌株AU3、AU34在照射5 min后的存活率分别为2.36%、3.18%,较原始菌株高,其中菌株AU34的存活率更高,耐紫外线能力更强。因此,选用菌株AU3、AU34进行下一步的毒力筛选。

2.2.2 毒力筛选 将原始菌株、AU3、AU34的孢子悬液作用于小菜蛾,每天定时观察小菜蛾的死亡数,做数据统计分析。结果见表3。可以看出原始菌株、菌株AU3、菌株AU34处理的供试小菜蛾校正致死率分别是80.36%、82.14%、85.71%,其中菌株AU34对小

表1 原始菌株与诱变株生长直径大小比较

Table 1 Comparison of the growth diameter of the original strain and the mutant strain

菌株	直径(cm)	菌株	直径(cm)	菌株	直径(cm)	菌株	直径(cm)
M _原	2.403 ± 0.012	M _原	2.586 ± 0.043	M _原	2.619 ± 0.004	M _原	3.085 ± 0.016
AU3	2.539 ± 0.027 **	AU19	2.638 ± 0.119	AU43	2.686 ± 0.014 **	AU64	3.164 ± 0.005 **
M _原	2.836 ± 0.061	M _原	3.011 ± 0.007	M _原	2.950 ± 0.023	M _原	3.037 ± 0.019
AU6	2.885 ± 0.043 *	AU23	3.048 ± 0.018 *	AU48	3.105 ± 0.012 **	AU69	3.220 ± 0.091 *
M _原	3.074 ± 0.013	M _原	2.373 ± 0.084	M _原	2.95 ± 0.053	M _原	2.502 ± 0.017
AU9	3.083 ± 0.008	AU26	2.384 ± 0.006	AU52	3.102 ± 0.104	AU75	2.678 ± 0.011 **
M _原	2.728 ± 0.039	M _原	3.079 ± 0.033	M _原	2.984 ± 0.049	M _原	2.950 ± 0.063
AU10	2.761 ± 0.011	AU28	3.162 ± 0.054	AU54	2.991 ± 0.101	AU82	3.003 ± 0.006
M _原	2.826 ± 0.016	M _原	2.651 ± 0.028	M _原	2.909 ± 0.012	M _原	2.655 ± 0.025
AU13	2.932 ± 0.017 **	AU32	2.731 ± 0.022 *	AU56	3.003 ± 0.010 **	AU93	2.823 ± 0.026 **
M _原	3.022 ± 0.003	M _原	2.972 ± 0.018	M _原	2.847 ± 0.35	M _原	2.852 ± 0.019
AU15	3.067 ± 0.015 **	AU34	3.022 ± 0.028 *	AU61	2.904 ± 0.017	AU95	2.915 ± 0.013 *
M _原	2.747 ± 0.037	M _原	3.026 ± 0.013	M _原	2.843 ± 0.052	M _原	2.731 ± 0.119
AU18	2.803 ± 0.010	AU38	3.114 ± 0.013 **	AU65	2.869 ± 0.043	AU101	2.815 ± 0.027

注: * 原始菌株 M_原 与诱变株差异显著 (P < 0.05), ** 原始菌株 M_原 与诱变株差异极显著 (P < 0.01); 表 2 同。

表2 不同菌株在紫外 5 min 下的存活率(%)

Table 2 Survival rate of different strains under UV 5 min (%)

菌株	存活率	菌株	存活率	菌株	存活率
M _原	0.4 ± 0.0620	AU26	0.35 ± 0.087 *	AU61	0
AU3	2.36 ± 0.079 *	AU28	0.26 ± 0.108 *	AU65	0.33 ± 0.044 *
AU6	0.12 ± 0.026 *	AU32	0.13 ± 0.061 *	AU64	0.05 ± 0.036 *
AU9	0.29 ± 0.101 *	AU34	3.18 ± 0.111 *	AU69	0.28 ± 0.132 *
AU10	0.36 ± 0.061 *	AU38	0	AU75	0
AU13	0	AU43	0.16 ± 0.035 *	AU82	0.01 ± 0.017 *
AU15	0.31 ± 0.035 *	AU48	0.37 ± 0.030 *	AU93	0.22 ± 0.066 *
AU18	0.14 ± 0.036 *	AU52	0.25 ± 0.066 *	AU95	0.16 ± 0.096 *
AU19	0.11 ± 0.056 *	AU54	0.29 ± 0.020 *	AU101	0.34 ± 0.075 *

表3 金龟子绿僵菌对小菜蛾的毒力

Table 3 Toxicity of *Metarhizium anisopliae* to *Plutella xylostella*

菌株	浓度(个孢子/mL)	校正致死率(%)	回归方程	可决系数	半数致死时间(d)
M _原	1 × 10 ⁷	80.36	y = 12.122x - 32.692	0.973	6.53
AU3	1 × 10 ⁷	82.14	y = 12.463x - 32.817	0.980	6.36
AU34	1 × 10 ⁷	85.71	y = 12.875x - 32.675	0.984	6.12

菜蛾的校正致死率较高, 从半数致死时间看, 菌株 AU34 所用的 LT₅₀ 最短, 为 6.12 d。因此, 菌株 AU34 对小菜蛾的毒力最好。

2.3 菌株耐热性测定

耐热性是衡量昆虫病原真菌在野外环境中持久性的指标之一^[29]。陶星虎^[30]通过高温热激来筛选出耐高温的蝗绿僵菌突变体, 得到三株 M₂₋₁、M₂₋₂ 和 M₂₋₇ 较耐热的菌株, 其中 M₂₋₇ 耐热性最好, 并对其进行抗紫外能力等性能测定, 与野生型 WT 的差异不显著。本研究在对原始菌株和诱变株 AU34 进行耐热性试验后, 发现萌发率随温度升高而逐渐下降, 高温限制了绿僵菌菌丝的生长, 在 55 ℃ 时原始菌株和诱变株的菌落形态较小且生长速率慢, 两株菌株在 60 ℃ 时均无法生长。由图 5 可以看出突变株 AU34

比原始菌株更耐热, 耐热能力有较大提高。

2.4 菌株遗传稳定性测定

通过测量生长 6 d 的产孢量, 原始菌株的产孢量为 0.995 ± 0.316 (10⁸ cell/cm²), 菌株 AU34 的产孢量为 1.63 ± 0.22 (10⁸ cell/cm²), 比原始菌株提高了 63.81%。对菌株 AU34 进行遗传稳定性试验, 结果见表 4, 通过连续 6 代产孢量检测, 菌株 AU34 具有良好的遗传稳定性。

3 结论

本研究通过 ARTP 和紫外复合诱变, 成功筛选到一株生长饱满、产孢快、抗紫外线能力强、耐高温、毒力强的优良菌株 AU34, 产孢量为 1.63 ± 0.22 (10⁸ cell/cm²), 比原始菌株提高了 63.81%, 在检测传代 6 次的产孢量后, 该诱变菌株具有良好的遗传稳定性。其中在

表4 菌株AU34的遗传稳定性
Table 4 Genetic stability of strain AU34

传代次数(代)	1	2	3	4	5	6
产孢量(10^8 cell/cm ²)	1.63 ± 0.22	1.51 ± 0.17	1.67 ± 0.28	1.47 ± 0.20	1.43 ± 0.44	1.55 ± 0.26

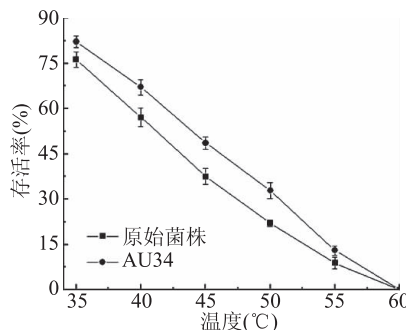


图5 原始菌株与AU34的耐热性比较

Fig.5 Comparison of heat tolerance between original strain and AU34

测定耐热性时发现突变菌株AU34较原始菌株的耐高温能力极大提高,表明ARTP-紫外复合诱变对提高绿僵菌的性能是有效的。而且利用双诱变条件获得的绿僵菌菌株产孢时间提前、孢子产量提高、毒力增强,提高了其作为微生物杀虫剂的应用潜力,表明经ARTP-紫外复合诱变可以成功选育出绿僵菌优良菌株,有利于提高现有杀虫剂的使用效果,为筛选优良绿僵菌菌株提供了新的途径。

参考文献

- [1] 陈名君,章西,侯因嵩,等.安徽大别山区绿僵菌属物种多样性[J].中国生物防治学报,2018,34(2):274-279.
- [2] Leão M P C, Tiago P V, Andreote F D, et al. Differential expression of the pr1A gene in *Metarhizium anisopliae* and *Metarhizium acridum* across different culture conditions and during pathogenesis[J]. Genetics and Molecular Biology, 2015, 38(1):86-92.
- [3] Javar S, Mohamed R, Sajap A S, et al. Expression of pathogenesis-related genes in *Metarhizium anisopliae* when infecting *Spodoptera exigua*[J]. Biological Control, 2015, 85:30-36.
- [4] Shakeel M, Xu X X, Xu J, et al. Identification of immunity-related genes in *Plutella xylostella* in response to fungal peptide destruxin A: RNA-Seq and DGE analysis[J]. Scientific Reports, 2017, 7(1):10966.
- [5] 刘颖,殷从松.金龟子绿僵菌致病的分子机理研究进展[J].贵州农业科学,2010,38(10):96-100.
- [6] Tang J F, Liu X Y, Ding Y C, et al. Evaluation of *Metarhizium anisopliae* for rice planthopper control and its synergy with selected insecticides[J]. Crop Protection, 2019, 121:132-138.
- [7] Mweke A, Akutse K S, Ulrichs C, et al. Efficacy of aqueous and oil formulations of a specific *Metarhizium anisopliae* isolate against *Aphis craccivora* Koch, 1854 (Hemiptera: Aphididae) under field conditions [J]. Journal of Applied Entomology, 2019, 143(10):1182-1192.
- [8] Brunner-Mendoza C, Reyes-Montes M D R, Moonjely S, et al. A review on the genus *Metarhizium* as an entomopathogenic microbial biocontrol agent with emphasis on its use and utility in Mexico[J]. Biocontrol Science and Technology, 2019, 29(1):83-102.
- [9] Rangel D E N, Finlay R D, Hallsworth J E, et al. Fungal strategies for dealing with environment-and agriculture-induced stresses[J]. Fungal Biology, 2018, 122(6):602-612.
- [10] Nascimento é, da Silva S H, Marques E d o s R, et al. Quantification of cyclobutane pyrimidine dimers induced by UVB radiation in conidia of the fungi *Aspergillus fumigatus*, *Aspergillus nidulans*, *Metarhizium acridum* and *Metarhizium robertsii* [J]. Photochemistry and Photobiology, 2010, 86(6):1259-1266.
- [11] Wang L, Chen X, Wu G, et al. Improved ε-poly-l-lysine production of *Streptomyces* sp. FEEL-1 by atmospheric and room temperature plasma mutagenesis and streptomycin resistance screening[J]. Annals of Microbiology, 2015, 65(4):2009-2017.
- [12] Braga G U L, Rangel D E N, Fernandes E K K, et al. Molecular and physiological effects of environmental UV radiation on fungal conidia[J]. Current Genetics, 2015, 61(3):405-425.
- [13] 练涛.虫生真菌优良菌株筛选及对油茶象甲的防治研究[D].江西:南昌大学,2018.
- [14] 陈瑞勤.紫外线-亚硝酸复合诱变选育高抗逆性绿僵菌的初步研究[J].河北省科学院学报,2008(2):53-56.
- [15] Onsongo S K, Gichimu B M, Akutse K S, et al. Performance of three isolates of *Metarhizium anisopliae* and their virulence against *Zeugodacus cucurbitae* under different temperature regimes, with global extrapolation of their efficiency[J]. Insects, 2019, 10(9):1-13.
- [16] 赵晶.绿僵菌紫外诱变及高毒力菌株的筛选[D].广东:华南农业大学,2016.
- [17] 马丽娟.优良绿僵菌菌株的筛选及应用性研究[D].河北:河北农业大学,2012.
- [18] 杨恩兰.烟田害虫高毒力绿僵菌和混剂筛选及防治效果研究[D].广东:华南农业大学,2016.
- [19] 韦云.两株绿僵菌紫外线诱变株的生物学特性研究[D].广东:华南农业大学,2016.
- [20] 苏筱雨,王婧,任晓婧,等.美国白蛾高毒力白僵菌菌株的紫外线诱变选育[J].林业科学,2016,52(7):165-169.
- [21] 牛春华,高岩,李玉秋,等.紫外诱变选育高产蛋白酶枯草芽孢杆菌[J].中国酿造,2011(12):67-69.
- [22] 李小坤,王旺,林影,等.常压室温等离子体(ARTP)诱变选育高核酸酿酒酵母[J].现代食品科技,2018,34(12):137-144,238.
- [23] 刘文静,程晗,陈崇艺,等.产β-葡萄糖苷酶菌株的筛选及产酶条件优化[J].食品与发酵工业,2019,45(23):43-49.
- [24] 许鹏飞,郭金玲,吕育财,等.常压室温等离子体诱变选育高产油脂皮状丝孢酵母的研究[J].中国油脂,2019,44(3):

(下转第70页)

参考文献

- [1] Zhao J, Li J R, Wang J L, et al. Applying different methods to evaluate the freshness of large yellow croacker (*Pseudosciaena crocea*) fillets during chilled storage [J]. *Journal of Agricultural and Food Chemistry*, 2012, 60(45): 11387–11394.
- [2] 励建荣. 海水鱼类腐败机制及其保鲜技术研究进展[J]. 中国食品学报, 2018, 18(5): 1–12.
- [3] Li T T, Li J R, Hu W Z, et al. Shelf-life extension of crucian carp (*Carassius auratus*) using natural preservatives during chilled storage [J]. *Food Chemistry*, 2012, 135(1): 140–145.
- [4] 王倩, 孙晓红, 蓝蔚青, 等. 保鲜冰在水产品保藏中的应用研究进展[J]. 食品与机械, 2016, 32(3): 226–230.
- [5] 杨帆, 万金庆, 张楠, 等. 水产品腐败机理及控制方法研究进展[J]. 食品工业科技, 2019, 40(5): 282–285.
- [6] Bai A J, Rai V R. Bacterial quorum sensing and food industry [J]. *Comprehensive Reviews in Food Science and Food Safety*, 2011, 10(3): 183–193.
- [7] Dusane D H, Zinjarde S S, Venugopalan V P, et al. Quorum sensing: Implications on rhamnolipid biosurfactant production [J]. *Biotechnology & Genetic Engineering Reviews*, 2010, 27: 159–184.
- [8] 刘静雪, 李凤林, 曾英男, 等. 连翘提取物对铜绿假单胞菌群体感应系统的影响[J]. 黑龙江畜牧兽医, 2019(3): 118–121, 182.
- [9] Hmelo L R. Quorum sensing in marine microbial environments [J]. *Annual Review of Marine Science*, 2017, 9: 257–281.
- [10] Solano C, Echeverz M, Lasa I. Biofilm dispersion and quorum sensing [J]. *Current Opinion in Microbiology*, 2014, 18: 96–104.
- [11] Abisado R G, Benomar S, Klaus J R, et al. Bacterial quorum sensing and microbial community interactions [J]. *MBio*, 2018, 9(3): e02331–e02317.
- [12] Rasmussen T B, Givskov M. Quorum sensing inhibitors: A bargain of effects [J]. *Microbiology*, 2006, 152(4): 895–904.
- [13] Ting D, Tingting L, Jianrong L. Identification of natural product compounds as quorum sensing inhibitors in *Pseudomonas fluorescens* P07 through virtual screening [J]. *Bioorganic & Medicinal Chemistry*, 2018, 26(14): 4088–4099.
- [14] 孙晓佳, 李婷婷, 赫彬彬, 等. 富马酸钠对荧光假单胞菌群体感应现象及其腐败活性的抑制作用[J]. 食品科学, 2019, 40(11): 7–13.
- [15] 黄婧. 群体感应抑制剂筛选及冬凌草甲素对铜绿假单胞菌QSI活性研究[D]. 广州: 广东药科大学, 2018.
- [16] Diao W R, Zhang L L, Feng S S, et al. Chemical composition, antibacterial activity, and mechanism of action of the
- essential oil from *Amomum kravanh* [J]. *Journal of Food Protection*, 2014, 77(10): 1740–1746.
- [17] Ponnuswamy V. A simple method for the detection of protease activity on agar plates using bromocresolgreen dye [J]. *Journal of Biochemical Technology*, 2013, 4(3): 628–630.
- [18] Zhang J M, Rui X, Wang L, et al. Polyphenolic extract from *Rosa rugosa* tea inhibits bacterial quorum sensing and biofilm formation [J]. *Food Control*, 2014, 42: 125–131.
- [19] Rode T M, Langsrud S, Holck A, et al. Different patterns of biofilm formation in *Staphylococcus aureus* under food-related stress conditions [J]. *International Journal of Food Microbiology*, 2007, 116(3): 372–383.
- [20] Lambropoulou K A, Drosinos E H, Nychas G J. The effect of glucose supplementation on the spoilage microflora and chemical composition of minced beef stored aerobically or under a modified atmosphere at 4 °C [J]. *International Journal of Food Microbiology*, 1996, 30(3): 281–291.
- [21] Myszka K, Schmidt M T, Majcher M, et al. Inhibition of quorum sensing – related biofilm of *Pseudomonas fluorescens* KM121 by *Thymus vulgaris* essential oil and its major bioactive compounds [J]. *International Biodeterioration & Biodegradation*, 2016, 114: 252–259.
- [22] 梅永超, 李婷婷, 刘楠, 等. 绿薄荷精油对温和气单胞菌群体感应现象及其腐败特性的抑制作用[J]. 食品科学, 2018, 39(15): 17–23.
- [23] 赵龙华, 杨维青. 细菌群集运动与生物被膜和耐药性的关系[J]. 国际检验医学杂志, 2011, 32(17): 1986–1988.
- [24] Swiecicki J M, Sliusarenko O, Weibel D B. From swimming to swarming: *Escherichia coli* cell motility in two-dimensions [J]. *Integrative Biology*, 2013, 5(12): 1490.
- [25] Servant A, Qiu F M, Mazza M, et al. Controlled *in vivo* swimming of a swarm of bacteria-like microrobotic flagella [J]. *Advanced Materials*, 2015, 27(19): 2981–2988.
- [26] O’ May C, Tufenkji N. The swarming motility of *Pseudomonas aeruginosa* is blocked by cranberry proanthocyanidins and other tannin-containing materials [J]. *Applied and Environmental Microbiology*, 2011, 77(9): 3061–3067.
- [27] Zhang Y, Kong J, Xie Y F, et al. Essential oil components inhibit biofilm formation in *Erwinia carotovora* and *Pseudomonas fluorescens* via anti-quorum sensing activity [J]. *LWT*, 2018, 92: 133–139.
- [28] 肖梦圆, 武瑞贊, 谭春明, 等. 群体感应系统及抑制剂对细菌生物被膜调控的研究进展[J/OL]. 食品科学[2020-04-01]. <http://kns.cnki.net/kcms/detail/11.2206.TS.20200330.1440.062.html>.
- [29] 刘银民, 程雨蒙, 李红梅, 等. 不同温度下绿僵菌对东亚飞蝗3龄蝗蝻的致病力影响[J]. 中国生物防治学报, 2019, 35(4): 642–647.
- [30] 陶星虎. 蝗绿僵菌耐热突变菌株筛选[D]. 重庆: 重庆大学, 2014.

(上接第 64 页)

123–127.

[25] 戴剑漉, 张晓婷, 卢智黎, 等. 新型常压室温等离子体-紫外复合诱变选育埃莎霉素 I 高产菌株 [J]. 中国抗生素杂志, 2018, 43(2): 182–188.

[26] 洪明生. 昆虫病原真菌对植物叶表和寄主肠道微生物群落的作用研究[D]. 重庆: 重庆大学, 2017.

[27] 杨帆, 刘春来, 王爽, 等. 一株平沙绿僵菌的鉴定及生防应用潜力评价[J]. 植物保护, 2018, 44(5): 199–205.